

Starkniederschlagshöhen und -spenden gemäß KOSTRA-DWD-2010R

Auswertungszeitraum von 1951 - 2010, Januar - Dezember

Rasterfeld: 23031

Zeile: 23

Spalte: 31

Seite: 1/2

| Dauerstufe D | | Wiederkehrzeit T | | | | | | | | | | | | | | | | | |
|--------------|-----|------------------|------------|------|------------|------|------------|------|------------|------|------------|------|------------|------|------------|-------|------------|-------|------------|
| | | 1 a | | 2 a | | 3 a | | 5 a | | 10 a | | 20 a | | 30 a | | 50 a | | 100 a | |
| min | Std | mm | l / (s ha) | mm | l / (s ha) | mm | l / (s ha) | mm | l / (s ha) | mm | l / (s ha) | mm | l / (s ha) | mm | l / (s ha) | mm | l / (s ha) | mm | l / (s ha) |
| 5 | | 5,1 | 170,0 | 6,9 | 230,0 | 7,9 | 263,3 | 9,3 | 310,0 | 11,1 | 370,0 | 12,9 | 430,0 | 14,0 | 466,7 | 15,3 | 510,0 | 17,2 | 573,3 |
| 10 | | 7,9 | 131,7 | 10,2 | 170,0 | 11,6 | 193,3 | 13,3 | 221,7 | 15,7 | 261,7 | 18,0 | 300,0 | 19,4 | 323,3 | 21,1 | 351,7 | 23,4 | 390,0 |
| 15 | | 9,7 | 107,8 | 12,4 | 137,8 | 14,0 | 155,6 | 16,0 | 177,8 | 18,7 | 207,8 | 21,4 | 237,8 | 23,0 | 255,6 | 25,0 | 277,8 | 27,7 | 307,8 |
| 20 | | 11,0 | 91,7 | 14,0 | 116,7 | 15,7 | 130,8 | 17,9 | 149,2 | 20,9 | 174,2 | 24,0 | 200,0 | 25,7 | 214,2 | 27,9 | 232,5 | 30,9 | 257,5 |
| 30 | | 12,6 | 70,0 | 16,1 | 89,4 | 18,1 | 100,6 | 20,7 | 115,0 | 24,2 | 134,4 | 27,6 | 153,3 | 29,7 | 165,0 | 32,2 | 178,9 | 35,7 | 198,3 |
| 45 | | 14,0 | 51,9 | 18,0 | 66,7 | 20,4 | 75,6 | 23,3 | 86,3 | 27,4 | 101,5 | 31,4 | 116,3 | 33,8 | 125,2 | 36,7 | 135,9 | 40,8 | 151,1 |
| 60 | | 14,8 | 41,1 | 19,3 | 53,6 | 21,9 | 60,8 | 25,2 | 70,0 | 29,7 | 82,5 | 34,1 | 94,7 | 36,7 | 101,9 | 40,0 | 111,1 | 44,5 | 123,6 |
| 90 | | 16,5 | 30,6 | 21,3 | 39,4 | 24,1 | 44,6 | 27,7 | 51,3 | 32,5 | 60,2 | 37,3 | 69,1 | 40,1 | 74,3 | 43,7 | 80,9 | 48,5 | 89,8 |
| 120 | 2 | 17,8 | 24,7 | 22,9 | 31,8 | 25,8 | 35,8 | 29,6 | 41,1 | 34,7 | 48,2 | 39,8 | 55,3 | 42,7 | 59,3 | 46,5 | 64,6 | 51,6 | 71,7 |
| 180 | 3 | 19,8 | 18,3 | 25,3 | 23,4 | 28,5 | 26,4 | 32,5 | 30,1 | 38,0 | 35,2 | 43,5 | 40,3 | 46,7 | 43,2 | 50,7 | 46,9 | 56,2 | 52,0 |
| 240 | 4 | 21,3 | 14,8 | 27,1 | 18,8 | 30,5 | 21,2 | 34,8 | 24,2 | 40,6 | 28,2 | 46,3 | 32,2 | 49,7 | 34,5 | 54,0 | 37,5 | 59,8 | 41,5 |
| 360 | 6 | 23,7 | 11,0 | 30,0 | 13,9 | 33,6 | 15,6 | 38,2 | 17,7 | 44,5 | 20,6 | 50,7 | 23,5 | 54,4 | 25,2 | 59,0 | 27,3 | 65,2 | 30,2 |
| 540 | 9 | 26,4 | 8,1 | 33,1 | 10,2 | 37,1 | 11,5 | 42,0 | 13,0 | 48,8 | 15,1 | 55,5 | 17,1 | 59,4 | 18,3 | 64,4 | 19,9 | 71,1 | 21,9 |
| 720 | 12 | 28,5 | 6,6 | 35,6 | 8,2 | 39,7 | 9,2 | 45,0 | 10,4 | 52,1 | 12,1 | 59,2 | 13,7 | 63,3 | 14,7 | 68,6 | 15,9 | 75,7 | 17,5 |
| 1080 | 18 | 31,7 | 4,9 | 39,4 | 6,1 | 43,8 | 6,8 | 49,5 | 7,6 | 57,2 | 8,8 | 64,8 | 10,0 | 69,3 | 10,7 | 74,9 | 11,6 | 82,6 | 12,7 |
| 1440 | 24 | 34,2 | 4,0 | 42,3 | 4,9 | 47,0 | 5,4 | 53,0 | 6,1 | 61,1 | 7,1 | 69,1 | 8,0 | 73,9 | 8,6 | 79,8 | 9,2 | 87,9 | 10,2 |
| 2880 | 48 | 42,2 | 2,4 | 51,7 | 3,0 | 57,3 | 3,3 | 64,4 | 3,7 | 73,9 | 4,3 | 83,5 | 4,8 | 89,1 | 5,2 | 96,1 | 5,6 | 105,7 | 6,1 |
| 4320 | 72 | 47,7 | 1,8 | 58,1 | 2,2 | 64,2 | 2,5 | 71,9 | 2,8 | 82,3 | 3,2 | 92,7 | 3,6 | 98,8 | 3,8 | 106,5 | 4,1 | 116,9 | 4,5 |

Angaben in mm: Bemessungsniederschlagswerte h(n)

Angaben in l / (s ha): Regenspende R(n) mit $R(n) = h(n) \times 1,666667 / D[\text{min}]$

Toleranzbereiche:

+/- 10 % für $1 \text{ a} \leq T \leq 5 \text{ a}$

+/- 15 % für $5 \text{ a} < T \leq 50 \text{ a}$

+/- 20 % für $50 \text{ a} < T \leq 100 \text{ a}$

Datenbasis: KOSTRA-DWD-2010R des Deutschen Wetterdienstes. Die Regenspende wurde auf Basis des Bemessungsniederschlags zur jeweiligen Andauer berechnet.

Für die Richtigkeit und Aktualität der Angaben wird keine Gewähr übernommen. Erstellt 07/2022.

Starkniederschlagshöhen und -spenden gemäß KOSTRA-DWD-2010R

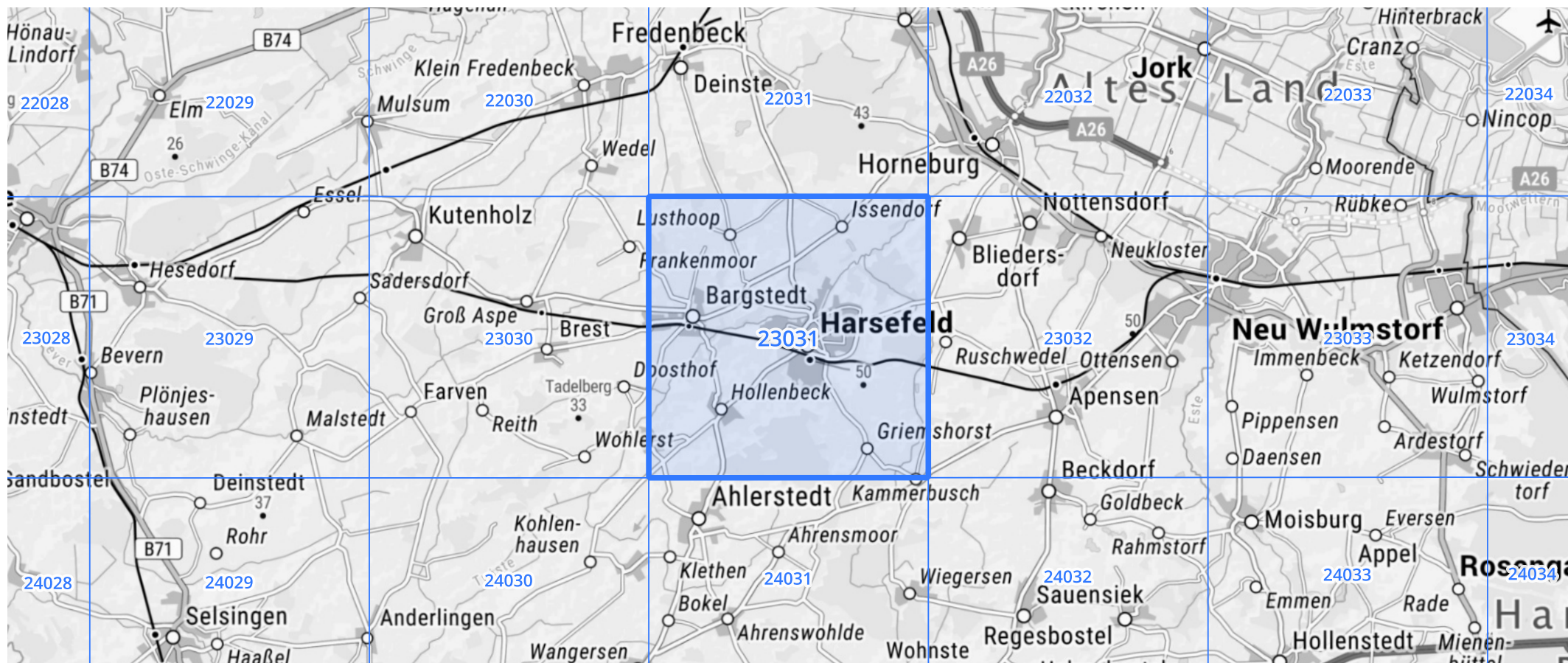
Auswertungszeitraum von 1951 - 2010, Januar - Dezember

Rasterfeld: 23031

Zeile: 23

Spalte: 31

Seite: 2/2



Quelle Rasterdaten: KOSTRA-DWD-2010R des Deutschen Wetterdienstes.

Kartendarstellung: © Bundesamt für Kartographie und Geodäsie (2022), Datenquellen: https://sgx.geodatenzentrum.de/web_public/gdz/datenquellen/Datenquellen_TopPlusOpen.html

Für die Richtigkeit und Aktualität der Angaben wird keine Gewähr übernommen. Erstellt 07/2022.